

(199)

人工疵による等辺山形鋼の表面疵の変形過程の研究

日本钢管 川崎製鉄所

入江利治

・下山登久栄

1. 目的

- (1) 圧延工場で消滅しうる素材疵の限界を知り素材手入れの合理化をはかる。
- (2) 圧延方式の変更による確性試験

2. 実験方法

- (1) 供試材 Fig. 1 参照

- (2) 圧延条件

粗角寸法 $100 \text{ mm} \times 250 \text{ mm}$

パス回数 粗圧延 6回、造形圧延 6回

圧延方式 フラット方式、圧延比、1.5, 1

製品 $150 \times 150 \times 15$ 等辺山形鋼

3. 結果および考察

Fig. 2, 3 は孔型の直心を重ね合わせて Fig. 2 の表面疵の位置の移動を表わしたもので表面が側面から上下面へ移動し、側面の表面積の減少を K1 での山部の伸びと内側の収縮がいちじるしい。Fig. 2, 4 はパス毎の疵の深さの変化を示したもので Fig. 2, 5 と比較すると A 疵、B 疵は殆んど圧下率と一致するが B2 の K1 でカリバー底に当り減少がいちじるしいこと、C 疵が K4 以後で減少していないのは Fig. 6 の結果とあわせて検討すると伸び

が大であることが推定される。

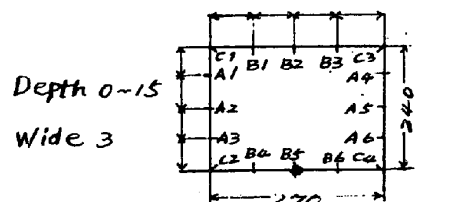


Fig. 1. Artificial seam defects in the cross section of bloom

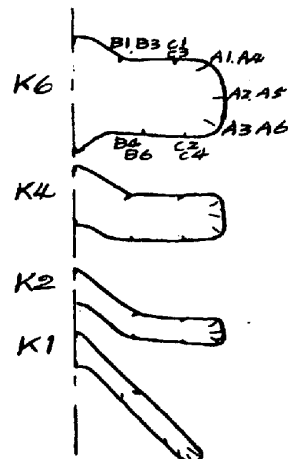


Fig. 2. Deformation of defects in the rolling process

Fig. 3. Following of surface defects in the each pass.

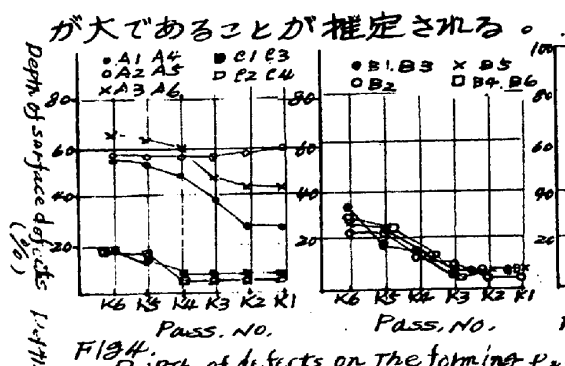


Fig. 4. Depth of defects on the forming passes.

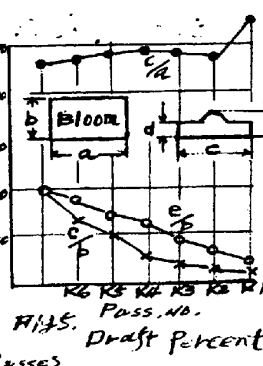


Fig. 5. Draft Percent

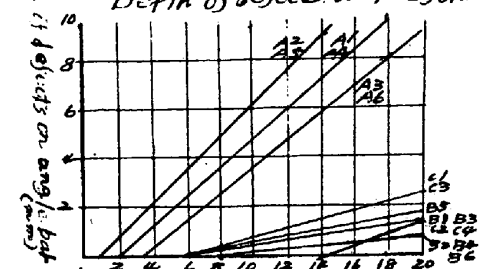


Fig. 6. Relation of Depth of defects between bloom and angle bar.

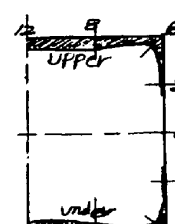


Fig. 7. Allowable limit of defects on the bloom surface

- (1) 疵の変形は圧延比、位置、造形法、などに関係する。

(2) ブルーム疵は上下面が消滅しやすく側面中央は殆んど消滅しない。消滅限界は Fig. 7 に示す

(3) K3 以後はフランジ部の伸びが大きい。